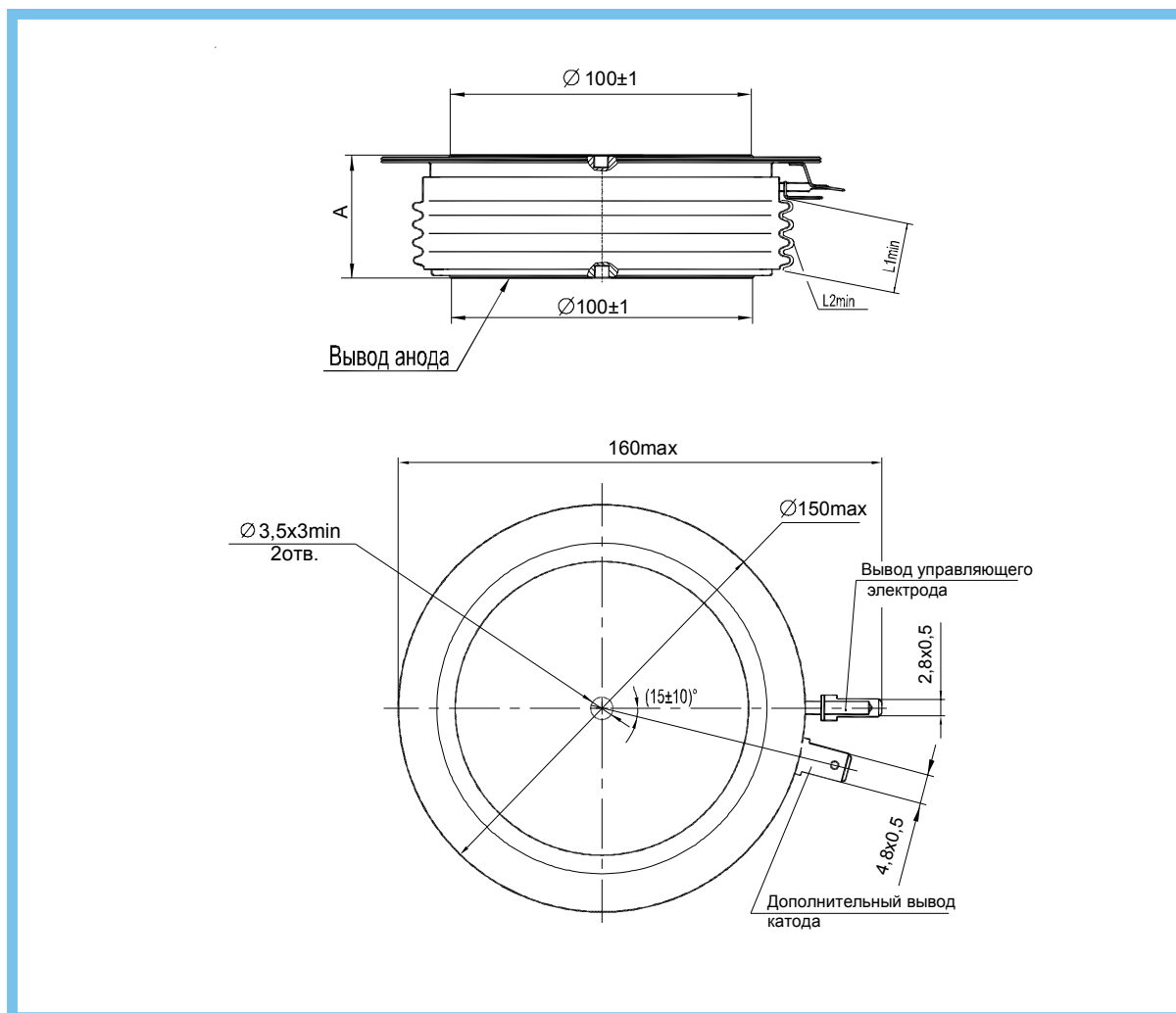


ТИРИСТОРЫ

T293-4000, T293-5000

T593-4000, T593-5000



Тип тиристора	Размеры, мм			Масса, г, не более	Усилие сжатия, Н
	A	L1 _{min}	L2 _{min}		
T293-4000, T293-5000	26,0±2	12	30	2100	85000±5000
T593-4000, T593-5000	26,0 ⁺³				

L1 - расстояние по воздуху между анодом и управляющим электродом;
 L2 - длина пути для тока утечки между анодом и управляющим электродом;
 Количество ребер не регламентируется.

Параметры закрытого состояния

Параметр		Значение параметра		Условия установления норм на параметры
Буквенное обозначение	Наименование, единица измерения	Тип тиристора		
		T293-4000 T593-4000	T293-5000 T593-5000	
U_{DRM} U_{RRM}	Повторяющееся импульсное напряжение в закрытом состоянии и повторяющееся импульсное обратное напряжение, В, для классов: 8 9 10 11 12 14 16 18		800 900 1000 1100 1200 1400 1600 1800	$T_j = 25\text{ }^\circ\text{C}$ $T_{jm} = 125\text{ }^\circ\text{C}$ Импульс напряжения синусоидальный однополупериодный длительностью 10 мс, частота 50 Гц
U_{DSM} U_{RSM}	Неповторяющееся импульсное напряжение в закрытом состоянии и неповторяющееся импульсное обратное напряжение, В, для классов: 8 9 10 11 12 14 16 18		900 1000 1100 1200 1300 1500 1700 1900	$T_j = 25\text{ }^\circ\text{C}$ $T_{jm} = 125\text{ }^\circ\text{C}$ Импульс напряжения синусоидальный однополупериодный, одиночный, длительностью 10 мс. Цепь управления разомкнута
U_{DWM} U_{RWM}	Рабочее импульсное напряжение в закрытом состоянии и рабочее импульсное обратное напряжение, В		$0,8 U_{DRM}$ $0,8 U_{RRM}$	$T_{jm} = 125\text{ }^\circ\text{C}$ Импульс напряжения синусоидальный однополупериодный длительностью 10 мс, частота 50 Гц
U_D U_R	Постоянное напряжение в закрытом состоянии и постоянное обратное напряжение, В		$0,6 U_{DRM}$ $0,6 U_{RRM}$	$T_c = 85\text{ }^\circ\text{C}$
$\left(\frac{du_d}{dt}\right)_{crit}$	Критическая скорость нарастания напряжения в закрытом состоянии, В/мкс, не менее, для группы: 6 7 8		500 1000 1600	$T_j = T_{jm}$; $U_{DM} = 0,67U_{DRM}$; $t_{u\ min} = 200\text{ мкс}$ Цепь управления разомкнута
I_{DRM} I_{RRM}	Повторяющийся импульсный ток в закрытом состоянии и повторяющийся импульсный обратный ток, мА, не более		10 400	$T_j = 25\text{ }^\circ\text{C}$; $T_{jm} = 125\text{ }^\circ\text{C}$; $U_D = U_{DRM}$; $U_R = U_{RRM}$; Цепь управления разомкнута

Параметры термодинамической стойкости

Параметр		Значение параметра		Условия установления норм на параметры
Буквенное обозначение	Наименование, единица измерения	Тип тиристора		
		T293-4000 T293-5000	T593-4000 T593-5000	
$I_{c(crit)}$	Ток термодинамической стойкости корпуса, кА	13	72	$t_i = 5,8\text{ мс}$ (для T293) $t_i = 10,0\text{ мс}$ (для T593)
$I_{c(crit)}^2 t$	Защитный показатель термодинамической стойкости корпуса, $A^2\text{ с}$	$25 \cdot 10^6$ (для T593)		

Параметры открытого состояния

Параметр		Значение параметра		Условия установления норм на параметры
Буквенное обозначение	Наименование, единица измерения	Тип тиристора		
		T293-4000 T593-4000	T293-5000 T593-5000	
I_{TAVM}	Максимально допустимый средний прямой ток в открытом состоянии, А	4000	5000	$T_c = 85\text{ }^\circ\text{C}$ Импульс тока синусоидальный, однополупериодный, длительностью 10 мс, частота 50 Гц
	Фактический максимально допустимый средний ток в открытом состоянии, А	4765	5045	$T_c = 85\text{ }^\circ\text{C}$, $T_j = T_{jm}$, $U_{T(TO)}$, r_T при $T_j = T_{jm}$
I_{TRMS}	Действующий ток в открытом состоянии, А	6280	7850	$T_c = 85\text{ }^\circ\text{C}$
I_{TSM}	Ударный ток в открытом состоянии, кА	99	106,7	$T_j = 25\text{ }^\circ\text{C}$, $U_R = 0$
		90	97	$T_{jm} = 125\text{ }^\circ\text{C}$, $U_R = 0$ Импульс тока синусоидальный однополупериодный, одиночный длительностью 10 мс $I_G = I_{GT}$ при $T_j = 25\text{ }^\circ\text{C}$
U_{TM}	Импульсное напряжение в открытом состоянии, В, не более	1,7		$T_j = 25\text{ }^\circ\text{C}$; $I_T = 3,14I_{TAVM}$
$U_{T(TO)}$	Пороговое напряжение в открытом состоянии, В	1,25	1,23	$T_j = 25\text{ }^\circ\text{C}$
		1,03	1,0	$T_{jm} = 125\text{ }^\circ\text{C}$
r_T	Динамическое сопротивление в открытом состоянии, мОм	0,036	0,03	$T_j = 25\text{ }^\circ\text{C}$
		0,055	0,047	$T_{jm} = 125\text{ }^\circ\text{C}$
I_H	Ток удержания, мА, не более	300		$T_j = 25\text{ }^\circ\text{C}$, $U_D = 12\text{ В}$ Цепь управления разомкнута
I_{TAV}	Средний ток в открытом состоянии, А	Охладитель O193 по ТУ16-2007 ИЕАЛ.432270.001ТУ, $T_a = 40\text{ }^\circ\text{C}$		
		705	730	естественное охлаждение
		1830	1915	принудительное охлаждение, $v=6\text{ м/с}$

Параметры управления

Параметр		Значение параметра		Условия установления норм на параметры
Буквенное обозначение	Наименование, единица измерения	Тип тиристора		
		T293-4000 T593-4000	T293-5000 T593-5000	
U_{GT}	Отпирающее постоянное напряжение управления, В, не более	3,0		$T_j = 25\text{ }^\circ\text{C}$; $U_D = 12\text{ В}$
		5,0		$T_{jmin} = \text{минус } 60\text{ }^\circ\text{C}$; $U_D = 12\text{ В}$
I_{GT}	Отпирающий постоянный ток управления, А, не более	0,30		$T_j = 25\text{ }^\circ\text{C}$; $U_D = 12\text{ В}$
		0,65		$T_{jmin} = \text{минус } 60\text{ }^\circ\text{C}$; $U_D = 12\text{ В}$
U_{GD}	Неотпирающее постоянное напряжение управления, В, не менее	0,40		$T_{jm} = 125\text{ }^\circ\text{C}$; $U_D = 0,67U_{DRM}$ Напряжение источника управления - постоянное
I_{GD}	Неотпирающий постоянный ток управления, мА, не менее	20,0		

Параметры переключения

Буквенное обозначение	Наименование, единица измерения	Значение параметра		Условия установления норм на параметры
		Тип тиристора		
		T293-4000, T593-4000, T293-5000, T593-5000		
$\left(\frac{di_T}{dt}\right)_{crit}$	Критическая скорость нарастания тока в открытом состоянии, А/мкс	250		$T_{jm} = 125\text{ }^\circ\text{C}$, $U_D = 0,67 U_{DRM}$, $I_T \geq I_{TAVM}$ Импульс тока синусоидальный однополупериодный частотой 50 Гц.
		800		$T_{jm} = 125\text{ }^\circ\text{C}$, $U_D = 0,67 U_{DRM}$, $I_T = 2I_{TAVM} \div 3I_{TAVM}$ Импульс тока синусоидальный однополупериодный частотой 1 Гц. Режим цепи управления: форма - трапецеидальная; длительность импульса тока не менее 50 мкс; амплитуда - $3I_{GT}$; длительность фронта 1 мкс. Внутреннее сопротивление источника управления не более 30 Ом.
t_{qt}	Время включения, мкс, не более	35		$T_{jm} = 125\text{ }^\circ\text{C}$; $U_D = 100\text{ В}$; $I_T = I_{TAVM}$; $I_{FG} = 3I_{GT}$; $t_G = 50\text{ мкс}$
Q_{rr}	Заряд восстановления, мкКл, не более	3350		$T_{jm} = 125\text{ }^\circ\text{C}$; $I_T = I_{TAVM}$; $t_i = 200\text{ мкс}$; $U_R = 100\text{ В}$; $\left(\frac{di}{dt}\right)_f = 5\text{ А/мкс}$
t_q	Время выключения, мкс, не более, для группы: E2 H2 K2 M2	500 400 320 250		$T_{jm} = 125\text{ }^\circ\text{C}$; $I_T = I_{TAVM}$; $t_{i\ min} = 200\text{ мкс}$; $\left(\frac{di}{dt}\right)_f = 5\text{ А/мкс}$; $\frac{du_D}{dt} = 50\text{ В/мкс}$; $U_R = 100\text{ В}$; $U_{DM} = 0,67U_{DRM}$

Тепловые параметры

Буквенное обозначение	Наименование, единица измерения	Значение параметра		Условия установления норм на параметры
		Тип тиристора		
		T293-4000, T593-4000, T293-5000, T593-5000		
T_{jm}	Максимально допустимая температура перехода, $^\circ\text{C}$	125		
T_{jmin}	Минимально допустимая температура перехода, $^\circ\text{C}$	минус 60		
T_{stgm}	Максимально допустимая температура хранения, $^\circ\text{C}$	50		
T_{stgmin}	Минимально допустимая температура хранения, $^\circ\text{C}$	минус 60		
R_{thjc}	Тепловое сопротивление переход-корпус, $^\circ\text{C/Вт}$, не более	0,005		Постоянный ток
R_{thch}	Тепловое сопротивление корпус-охладитель, $^\circ\text{C/Вт}$, не более	0,0013		
R_{thja}	Тепловое сопротивление переход-среда, $^\circ\text{C/Вт}$, не более	Охладитель O193 по ТУ16-2007 ИЕАЛ432270.001 ТУ		
		0,1073	естественное охлаждение	
		0,0363	принудительное охлаждение, $v=6\text{ м/с}$	

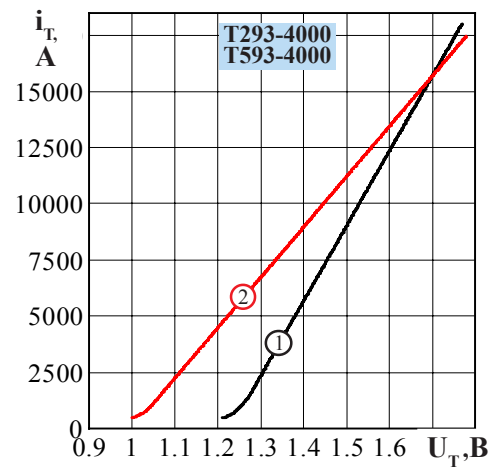
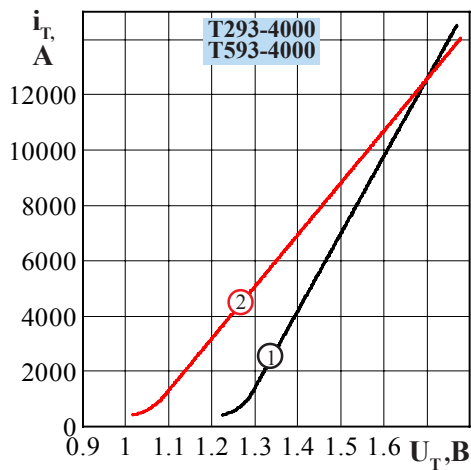


Рисунок 1 - Предельная вольтамперная характеристика в открытом состоянии при температуре перехода 25 °С (1) и максимальной температуре перехода T_{jm} (2) $I_T = 3,14I_{T(AV)}$

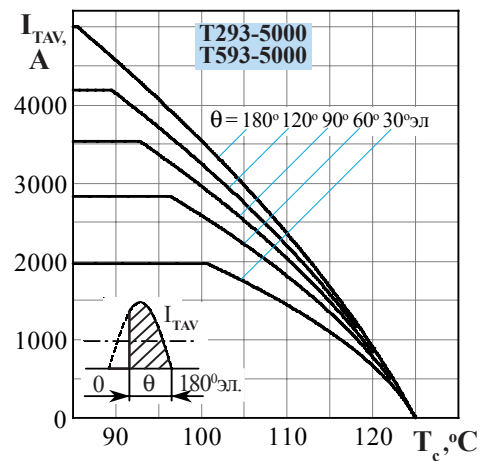
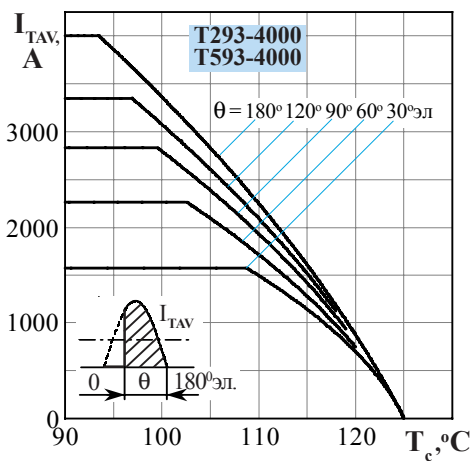


Рисунок 2 - Зависимость допустимого среднего тока в открытом состоянии I_{TAV} от температуры корпуса T_c для токов синусоидальной формы частотой $f = 50$ Гц

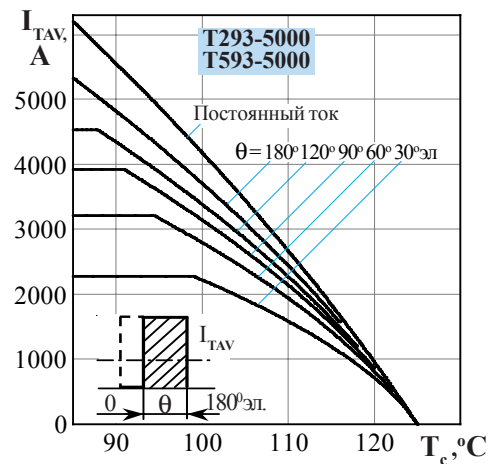
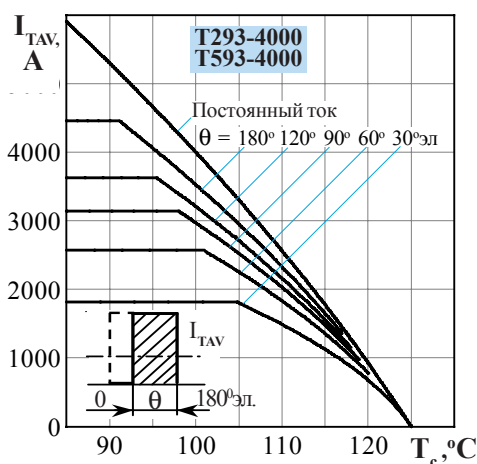


Рисунок 3 - Зависимость допустимого среднего тока в открытом состоянии I_{TAV} от температуры корпуса T_c для токов прямоугольной формы частотой $f = 50$ Гц и постоянного тока

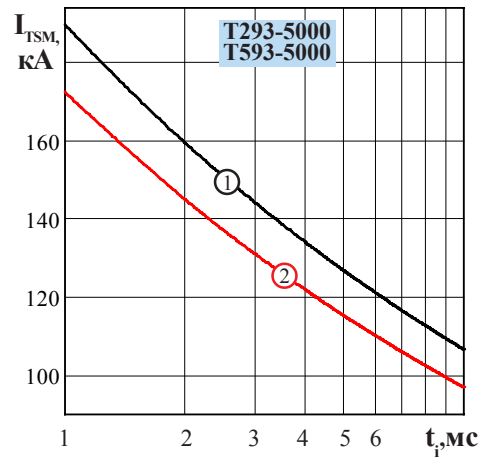
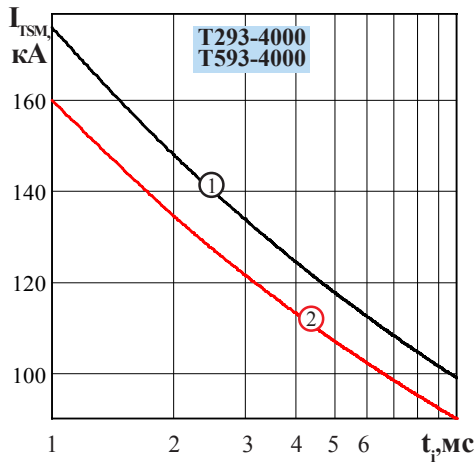


Рисунок 4 - Зависимость допустимой амплитуды ударного тока в открытом состоянии I_{TSM} от длительности импульса тока t_p при исходной температуре структуры $T_j = 25\text{ °C}$ (1) и максимальной температуре T_{jm} (2)

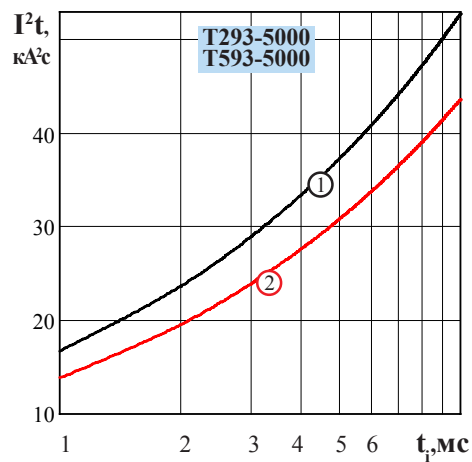
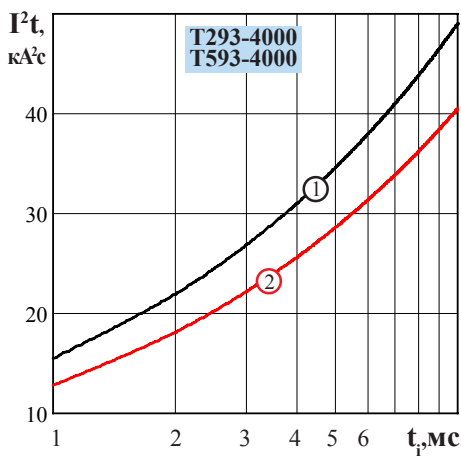


Рисунок 5 - Зависимость защитного показателя I^2t от длительности импульса тока t_p при температуре $T_j = 25\text{ °C}$ (1) и максимальной температуре перехода T_{jm} (2)

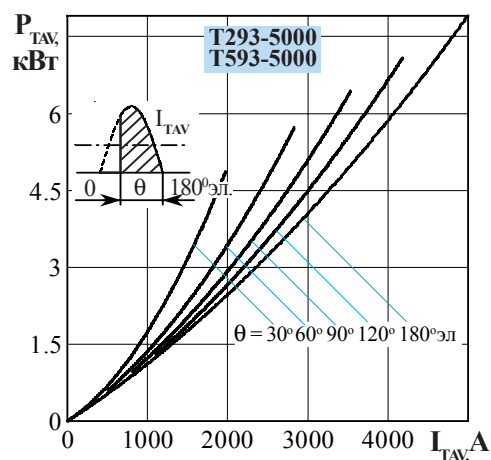
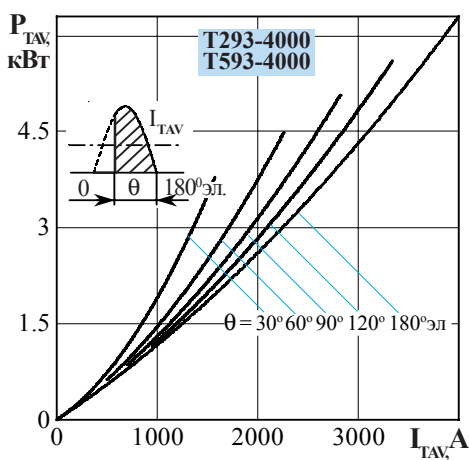


Рисунок 6 - Зависимость средней рассеиваемой мощности в открытом состоянии P_{TAV} от среднего тока в открытом состоянии I_{TAV} синусоидальной формы частотой $f = 50\text{ Гц}$

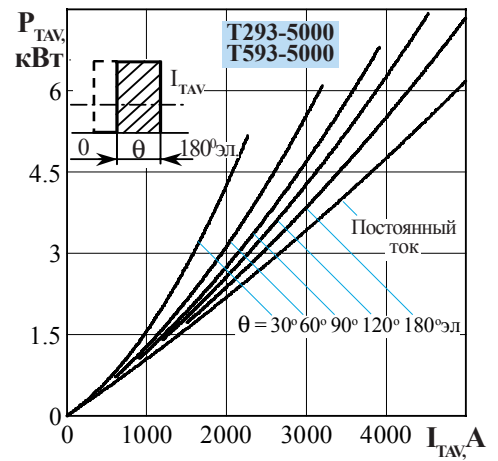
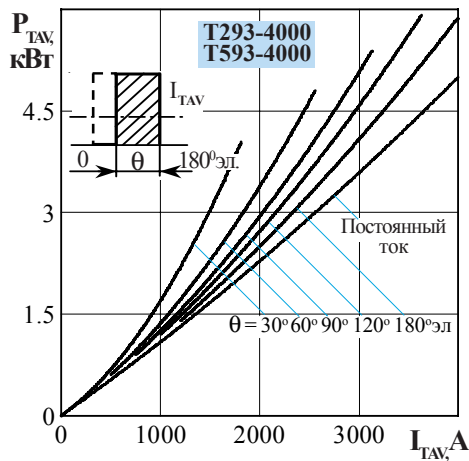


Рисунок 7 - Зависимость средней рассеиваемой мощности в открытом состоянии P_{TAV} от среднего тока в открытом состоянии I_{TAV} прямоугольной формы частотой $f = 50$ Гц и постоянного тока

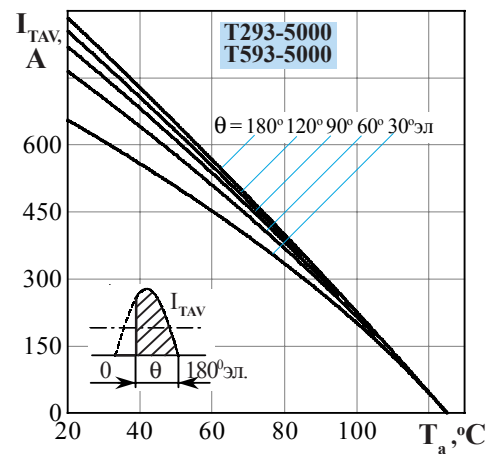
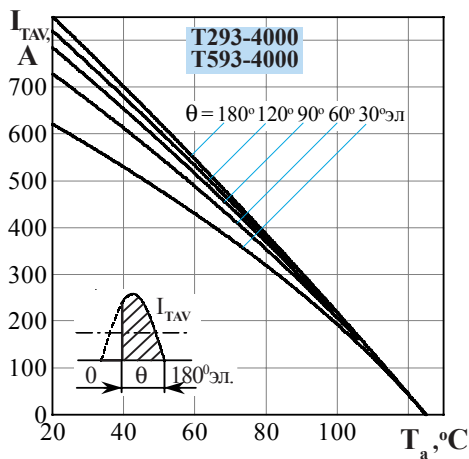


Рисунок 8 - Зависимость допустимого среднего тока в открытом состоянии I_{TAV} от температуры окружающей среды T_a при естественном охлаждении на типовом охладителе при различных углах проводимости для токов синусоидальной формы частотой $f = 50$ Гц

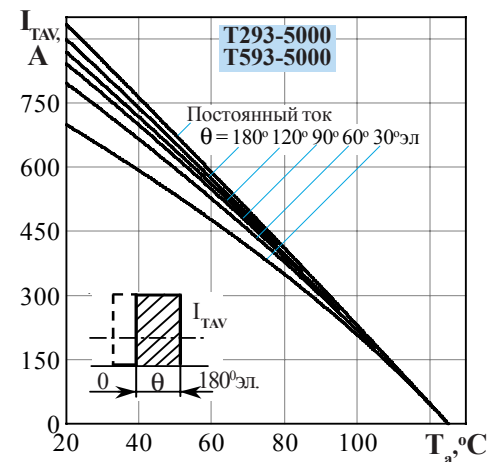
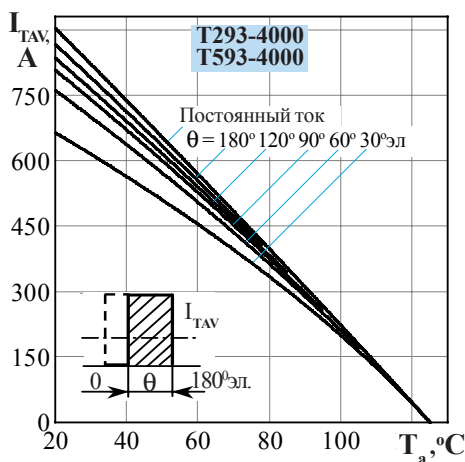


Рисунок 9 - Зависимость допустимого среднего тока в открытом состоянии I_{TAV} от температуры окружающей среды T_a при естественном охлаждении на типовом охладителе при различных углах проводимости для токов прямоугольной формы частотой $f = 50$ Гц и постоянного тока

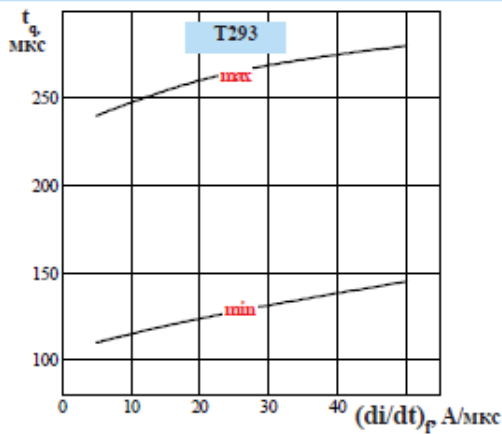


Рисунок 10 - Зависимость времени выключения t_q от скорости спада тока $(di/dt)_f$ в открытом состоянии при $T_{jm} = 125^\circ\text{C}$

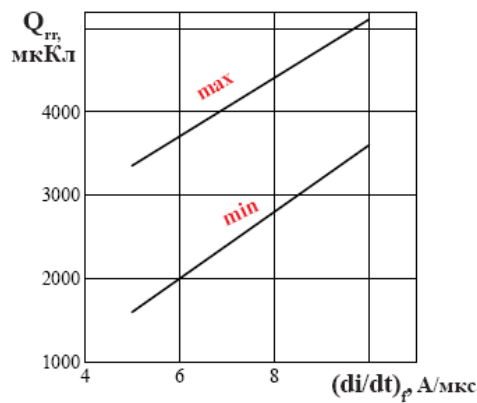


Рисунок 11 - Зависимость заряда восстановления Q_{rr} от скорости спада тока $(di/dt)_f$ в открытом состоянии при $T_{jm} = 125^\circ\text{C}$; $U_R = 100\text{ В}$; $I_T = I_{TAVM}$.

Z_{thjc} , отн. ед.

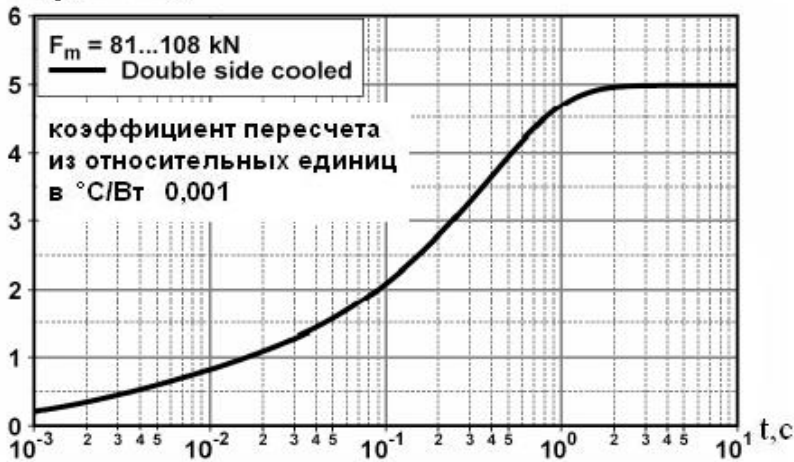


Рисунок 12: Зависимость переходного теплового сопротивления Z_{thjc} от времени t при естественном охлаждении на типовом охладителе, $T_a = 40^\circ\text{C}$.

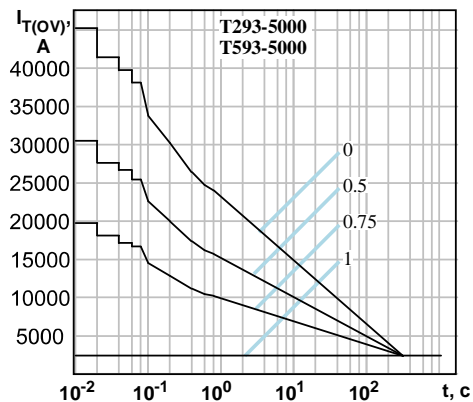
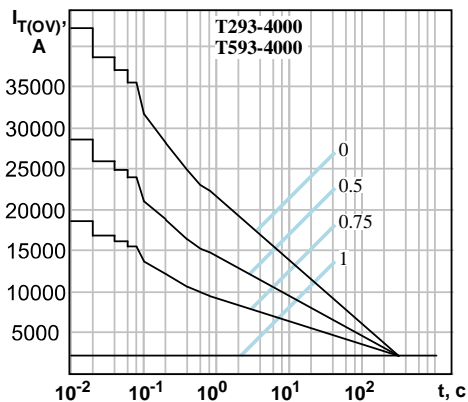


Рисунок 13: Зависимость допустимой амплитуды тока перегрузки в открытом состоянии $I_{T(OV)}$ синусоидальной формы частотой 50 Гц от длительности перегрузки t при температуре окружающей среды 40°C и при различных значениях k , равных отношению предшествующего перегрузке тока I_T к допустимому среднему току в открытом состоянии $I_{T(AV)}$ на охладителе O193.